パーキンソニズム脳波の相関分析

パーキンソニズムの頭皮上と深部脳波の相関分析

岡山大学医学部脳神経外科学教室(主任:西本 詮教授)

谷 川 雅 洋

(昭和63年12月26日受稿)

Key words: Parkinsonism, Depth EEG, Alpha activity
Correlation analysis, Travelling wave

緒言

近年,脳波の研究分野に電子計算機が盛んに 導入されており、統計学的基礎理論やその応用 によって数多くの知見が得られている^{19/43)}.

脳波分析の有力な一方法である相関分析法は、サイバネティクスの創始者である Wiener®のによって提唱され、本邦においても古くから今堀³²²、寿原マロ)によって研究されていた。 Brazier®~9によって初めてヒト脳波の解析に応用され、以後基礎理論の確立とともに今日の相関分析の発展をみるに至っている。

パーキンソニズムの脳波については、これまでにも数多くの報告があり、ことに脳波の基礎律動と臨床像の関連については、この両者の間に密接な関係が伺われ、これは視床深部脳波により顕著であったことが報告されている51551.大脳基底核に主病変を持つパーキンソニズムの臨床像と α 波の関係は興味ある問題であると思われる.

今回、著者はパーキンソニズムの定位的視床 手術の際に、頭皮上ならびに視床を中心とした 深部脳波の性質について更に詳細に検討するために、相関分析の手法を用いて脳波の定量的把握を試みるとともに、頭皮上と深部脳波の関係をα波の相関々係に重点を置いて分析を行った。そこで段階的に検討を進め、まず正常健康成人の脳波を対照として、それとの対比の下にパーキンソニズム患者の頭皮上脳波の特徴について分析し、さらに臨床像との対応を検討した、次に、深部脳波を主として周波数スペクトルの面 から α 波およびその近傍周波数成分に重点を置いて分析した。最後に、頭皮上と視床を中心とした深部脳の関係を α 波成分のリズムならびに位相関係についクロススペクトル分析の立場から検討し興味ある知見を得た。

検査対象

岡山大学脳神経外科に入院し、一側の定位的 視床破壊術を行なったパーキンソニズム患者の うち、術中の記録が artefact のない相関分析に 適した19例(39~66歳、平均55.2歳)を対象と した。また、正常健康者19例(20~53歳、平均 37.3歳)についても検討した。パーキンソニズ ムの症例は松本の手術適応の基準(表1)に沿って分けると I 群: 5 例、II 群: 6 例(II a: 4 例、II b: 2 例)、III 群: 8 例であった。対照群 の正常健康者とは、脳波に異常所見の認められ ない成人健康者である。

検 査 方 法

1. 脳波記録方法

パーキンソニズムの脳波は全て定位脳手術の 術中に記録した。深部脳波の記録には、まず患 者を定位固定後、局所麻酔の下に Pneumotaxic 法に従って、頭蓋冠状縫合部で正中より4.0~4.5 cm外側に設けた穿頭孔から視床腹外側核に深部 記録電極を挿入した(図1)。深部電極は先端から5 mm間隔に5極と先端から4.5cmの部位に1極 の計6極のものを用いた。脳波記録は全て50Hz high cut filter を使用し、頭皮上および深部脳 波のいずれも手術側耳介を基準電極とした単極

表1 手術適応の規準44)

Candidacy の分類					
I (Good)	: Tremor, rigidity などが 1 側 にのみ強く, bradykinesia が 少なくて社会的活動ができる.				
II (Fair)	IIIa 両側に中程度の rigidity, tremor などの症状があるが、1 側がとくに軽く、体軸症状が著しくなくて日常生活も自分でどうにかできている(self-sufficient). IIb 両側に中程度ないしかなり進行した rigidity やtremor があり、体軸症状や bradykinesia も明らかで、日常生活も不自由 (semi-self-sufficient) なもの。				
III (Poor)	: 著しく 進行した rigidity, tremor, bradykinesia, 体軸 症状があり, 独立歩行程度の 運動がかろうじできるもの.				

導出により記録したものを分析対象とした. なお、一部症例についは、穿頭孔から銀ボール電極によって皮質脳波の記録も併せ行なった.

2. 分析方法

脳波の分析には、脳波計から一旦 data recorder に収録後、全て off-line に処理した。まず、ATAC 501-20により自己相関々数 Φxx (t) および相互相関々数 Φyx (t) を算出し、これを FACOM 270-20により Fourier 変換してスペクトル密度関数 (Pxx(f), Pyx(f)) を求めた。 クロスパワスペクトル Pyx(f) では、その余弦および正弦成分から与えられる位相角と、また部位間の直線性を示すコヒーレンス $\gamma^2(f)$ についても算出した。一部症例については、 TEAC C-100相関計および F-110 Fourier Analyzer にり相関々数ならびにパワスペクトルを求めた。

上記方法によって分析を進める際には、まず 脳波 artefact の混入を極力避けるとともに脳波 の確率過程を考慮して、得られる結果の期待値 が出来るだけ高くなるように標本長、遅延ステ

Schematic Diagram of Depthelectrode

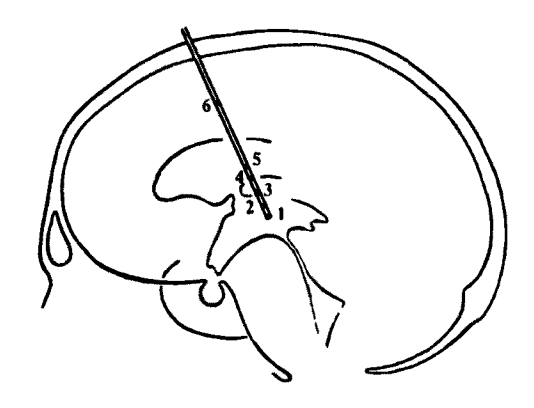


図1 術中記録電極模式図

ップおよび最大遅延を決定した。すなわち、相関々数の Fourier 変換によって得られるパワスペクトルの周波数分解能を0.5Hz 以下にするとともに、最大周波数を24~25Hz までとし、標本長の一つの目安としては最大遅延の20倍を規準とした¹⁸⁾.スペクトル窓は赤池¹¹に従って重みづけを行なった。パワスペクトルについては、特徴抽出の一手段として各種パラメータ間の直線関係を検討する際に相関係数 γ と寄与率 γ²を算出した。

検査成績

1. パーキンソニズム患者の頭皮上脳波

(1) 頭皮上脳波の周波数スペクトル

自発脳波から求めたコレログラムには、それ 自体 time-pattern としてのいくつかの有力な情 報があるが、複数の周波数活動の合成波である 脳波を観察する場合、これを Fourier 変換して 得られるパワスペクトログラムは周波数領域に おける性状をみる上に甚だ便利である. 従って、 パーキンソニズムの頭皮上の各部位より導出さ れた脳波をパワスペクトルにより観察した(図 2).

一般的性状として後頭部導出のものは α 波帯 域のパワーが非常に強く、徐波および速波帯域 のそれは小さかった。すなわち、α 波帯域の周 波数活動が強く、肉眼的観察により規則性良好

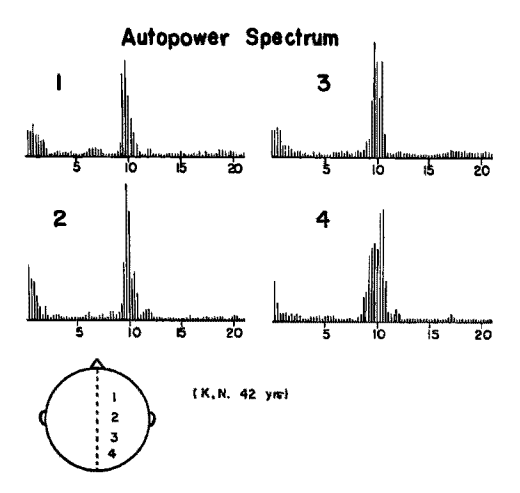


図 2 頭皮上脳波のオートパワスペクトル 42歳男子―Grade Iより求めた周波数スペ クトル、10Hz 近傍のスペクトル構造は導出 部位によって少しずつ異なっている。

なものでは峰幅が狭い単峰性の鋭いスペクトル ピークや2峰性ピークを形成しているが,前頭部 や中心部導出のものでは徐波および速波帯域の パワが後頭部のものよりやや強く,α波帯域に限 ってみても後頭部とは明確な差異がしばしば観 察された. 特に中心部と後頭部の α 波のスペク トル構造を比較した場合、後頭部は単峰性のス ペクトルピークを持っていても中心部では2峰 性であったり、またこの逆の場合もあり、α波 帯域のパワスペクトル構造のみからでも相互の 共通成分と局所特異性成分の分離が可能な症例 もあった。しかしスペクトル構造が部位差を示 さず, 非常に良く似た場合もあり, 症例やサン プリングによっても相互関係は異なっていたが、 このような部位間相互関係は正常者対照群にお いても観察され、パーキンソニズム患者に特異 的な局在成分や特異な部位間相互関係は認めな かった.

(2) 病状進行度との相関

パワスペクトルの全体像を症例毎に比較するために、脳波の統計的性質を考慮して、個々のスペクトル信頼限界を越えた測定値のバラツキが極力小さくなるように次の如き方法による処理を行なった。すなわち、パワスペクトルの周波数帯域を2~18Hzに限定して、これを2~3

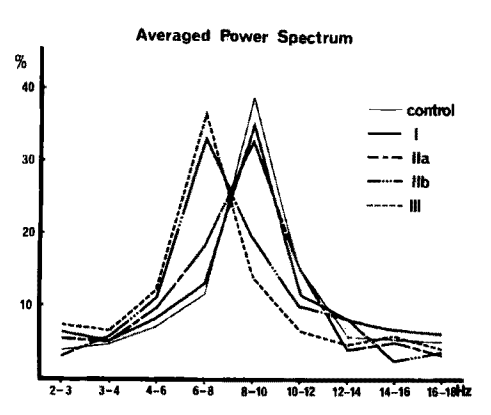
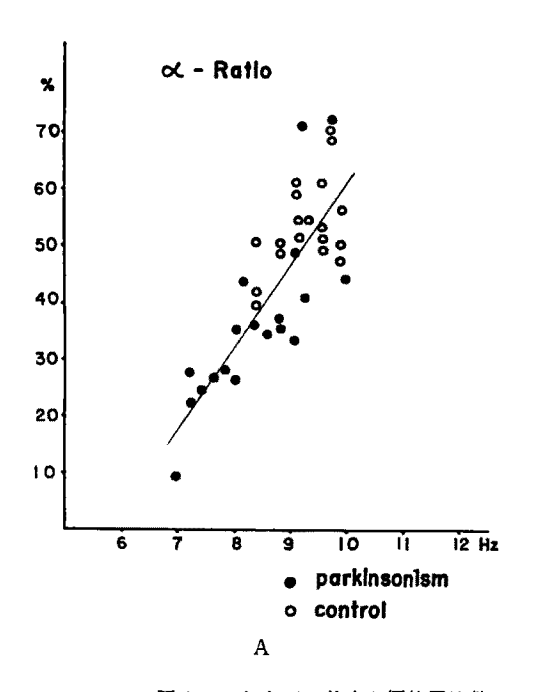


図 3 病状進行度と周波数帯域スペクトル
2 - 3 Hz 未満(δ₁), 3 - 4 Hz 未満(δ₂),
4 - 6 Hz 未満(β₁), 6 - 8 Hz 未満(β₂),
8 - 10Hz 未満(α₁), 10-12Hz 未満(α₂),
12-14Hz 未満(β₁), 14-16Hz 未満(β₂),
16-18Hz 未満(β₃), 説明本文

Hz 未満(δ_1)、 $3 \sim 4$ Hz 未満(δ_2)、 $4 \sim 6$ Hz 未満(θ_1)、 $6 \sim 8$ Hz 未満(θ_2)、 $8 \sim 10$ Hz 未満(α_1)、 $10 \sim 12$ Hz 未満(α_2)、 $12 \sim 14$ Hz 未満(β_1)、 $14 \sim 16$ Hz 未満(β_2)、 $16 \sim 18$ Hz 未満(β_3) の 9 つの小帯域に分け、各小帯域の全体($2 \sim 18$ Hz) に帯する比率を算出した。 $2 \sim 18$ Hz に限定した理由は、20Hz 以上の速波帯域の占める比率の個体差が少ないことと10Hz 近傍の α 波帯域の値を重視したためである。

パーキンソニズム(以下「パ群」と略す)19 例, 対照者(以下「対照群」と略す)19例の頭 皮上中心部脳波について算出したものを図3に 示しているが、「対照群」の帯域平均比率は αι の 高いピークを中心に左右ほぼ対称的な分布を示 したが、「パ群」では 4~12Hz の間で病状の進 行度に応じて明確な差異が認められ、殊に θと α_1 に顕著であった。 α_1 では病状進行度が $I \rightarrow II$ $a \rightarrow II b → III と 増すに従って値は逆に小さくなり、$ 62ではこの関係は逆となった。このような対応は θ や α_2 にも認められたが、 $\theta \sim 10$ Hz のものほど 顕著ではなかった、また、I群およびIIa群で は α₁が、II b 群とIII群では θ₅が優位となってお り手術予後などからⅡ群として一括して分類さ れているIIa群とIIb群の間に明らかな差を認 め、II a 群は I 群に、II a 群はIII群に近似な分 布を示した.



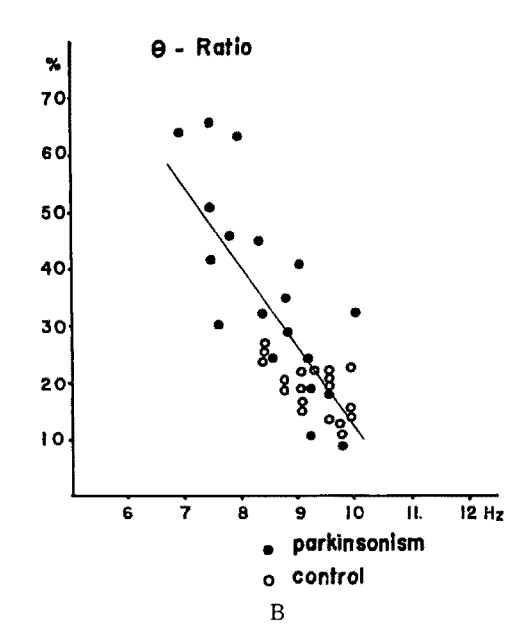


図 4 α および θ 比率と優位周波数 優位周波数と α および θ 帯域比率の間には強い相関がみられる (p<0.01).

表 2 優位周波数と帯域比率の相関

	α	θ	α_1	ar ₂	0 1	θ_2
P+C	0.770	-0.780	0.572	0.609	-0.371	-0.741
С	0.580	-0.627	0.022	0.674	-0.090	0.086
P	0.750	-0.766	0.601	0.535	-0.231	-0.158

significance limits:

C:「対照群」19例, P:「パ群」19例 P+C:「パ群」+「対照群」38例

病状進行度と θ および α 波の帯域平均比率の間に対応が伺われることから(図3)、「パ群」ならびに「対照群」の個々の症例について、 θ および α 波の比率や前述の各小帯域の比率とパワスペクトルで最大パワを持つ周波数(優位周波数)との関係、さらに各帯域相互間の関係について検討した(図4-A, 4-B, \mathbf{a} , \mathbf{a})。 図4-A, 4-Bは $4-\mathbf{a}$ Hz 未満(θ) ならびに \mathbf{a} に \mathbf{a} \mathbf{a}

表 3 病状進行度 と α, θ 帯域比率および優位周 波教の相関

(Parkinsonism, 19 cases)					
	α	θ	dominant frequency		
Grade	-0.997	0.681	0.698		
Age	-0.443	0.035	-0.131		

significance limits;

n=19; p<0.01 |r|>0.550 p<0.05 |r|>0.450

められた(表 2). しかし、 α および θ 帯域を細分化した小帯域比率と優位周波数の関係をみると、「対照群」は α_2 に、「パ群」は α_1 と α_2 に、「パ群+対照群」では θ_2 α_1 α_2 との間に有意の直線関係が認められたが、全般的に広帯域の場合においてより高い直線関係を示す傾向がみられた。

次に「パ群」19例について, αおよび θ 比率 と優位周波数の3つのパラメーターを設定して, これらと脳波像の変化をもたらす可能性のある 患者の年齢および病状進行度との関係をみた(表3).この結果病状進行度と各パラメーター間には密接な関係が認められたが、年齢との間には優位の直線関係はみられなかった。すなわち、病状の進行に伴ってα率の低下、θ率の上昇と優位周波数の徐化がみられることが示された。
2.パーキンソニズム患者の深部脳波パワスペクトル

視床、皮質下2cmの白質部と頭皮上中心部の各部より導出した脳波のパワスペクトルは、サンプリングを変えて、経時的に比較すると、いずれの部位においてもスペクトルの形態が多少違ってくる傾向が認められた。しかし、標本長を長くすると比較的安定したスペクトル形態が得られたので、これら三者の特徴については比較的長い50秒以上の標本のものについて検討した。

頭皮トと深部の α 波およびその近傍周波数に おけるスペクトル形態は,軽症例(I群, II a群) の場合には両者間に近似性が認められた。しか し、導出部位間の差異についてパワスペクトル を詳細に検討すると, α波帯域と速波帯域につ いてはいくつかの特徴的所見がみられた。すな わち、α波帯域においては、頭皮上では通常な だらかな単峰性または副峰を持った多峰性ピー クを示すが, 深部ことに視床では峰幅の狭い鋭 い単峰性ピークを示した(図5). 視床が多峰性 を示すことは極めて稀であり、頭皮上と深部が 良く似かよった多峰性ピークを示した例は19例 中僅かに1例に認められたにすぎなかった。こ のようなパワスペクトルの所見から、頭皮上で はサンプリング時間内に α 波の種々の周波数活 動がみられるが、視床では比較的均一な α 波活 動の存在を示していた。また,優位周波数は頭 皮上と深部で必ずしも一致しないが、軽症例の 場合にはその差は0.5Hz 以下であり, 頭皮上が 多峰性の場合は、視床の単峰性の優位周波数は 頭皮上のいずれかのピークの周波数に一致して いた. 他方, 進行例(IIb群, III群)では0.5Hz の差がみられるものが1例(II b 群),2 Hz 以 上の差があり頭皮上と深部が全く別個な周波数 活動を呈しているかの如き2例(III群)が認め られた.

速波帯域については、皮質下2cmの白質が最も強いパワを持ち、19例中3例に記録した皮質 脳波との近似性が極めて強かった。白質部や皮質に較べると、頭皮上や視床の速波成分は小さく、殊に視床の速波帯域のパワは極めて小さかった。

開眼時の脳波変化をパワスペクトルでみると、 軽症例では頭皮上および深部の両者は共に α 波 帯域で著明な減衰がみられた、しかし、進行例 の場合では、減衰の程度は少なく、安静閉眼時 の場合よりやや速い α 波活動が存在し、視床に その傾向が強かった。この現象は程度の差はあ るが、II b 群の1例とIII群の8例中6例に認め られた。

また、視床腹外側核から視床内を5㎜間隔で

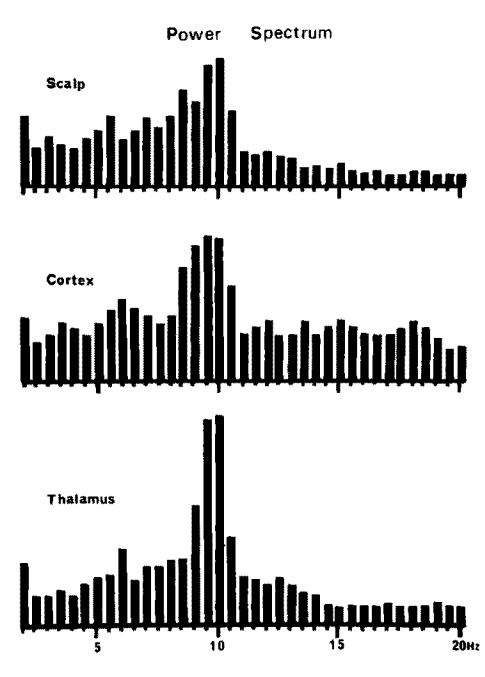


図5 頭皮上、皮質、視床脳波の周波数スペクトル 49歳男性(Grade I)、頭皮上、皮質、視床より同時に導出した約51秒間の脳波から求めたオートパワスペクトル、優位周波数(最大パワを持つ周波数) は導出3部位でほぼ一致しているが、頭皮上と皮質ではα波帯域で峰幅が広くなだらかなピークを形成しているが、視床では9.5~10Hzで鋭いピークを形成している。

導出した脳波のパワスペクトルは, 先端から 2 cmの間では極めて良く似た形態を示し, α 波帯域に限っても局部間の差異を検出することは困難であった.

3. 頭皮上ならびに深部脳波のクロススペクト ル分析

頭皮上脳波と視床脳波の関係について検討するために、両者の α 波のリズムに重点を置き、相互間の相関々係について解析を試みた、第一段階として、頭皮上と深部間の α リズムの性状についてコレログラムの計測を行ない、次いで、頭皮上脳波の部位間位相関係、更に頭皮上と深部脳波の位相関係につい検討した。

(1) オートコレログラムの計測

頭皮上中心部脳波と視床を中心とした深部脳波から得られたオートコレログラムを計測して、各脳波の α リズムの性状について定量的把握を試みた。

オートコレログラムの計測は Daniel 氏法¹⁴に 依り、Abundance Ratio (AR)、Synchronization Ratio (SR)、 Rhythm Ratio (RR) について検 討した (図 6)。 AR は平均電位に対する Dominant Synchronized Rhythm (DSR) の割合を 示すとし、SR は DSR の出現の安定性に関係す

Quantification of the Correlogram

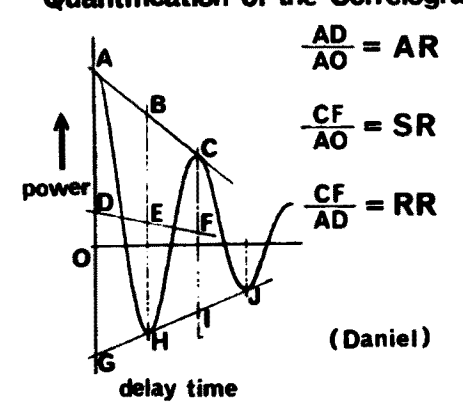


図6 コレログラムの計測

AO: input mean power. AD: input mean power of dominant synchronized activity. CF: wave to wave coincident power.

AR: Abundance Ratio. SR: Synchronization Ratio. RR: Rhythm Ratio.

るところから、RR は DSR のリズム性状の評価 となるとされている。

3例、(I群2例、II a群1例)の頭皮上および深部脳波について計測を行なった。いずれも安静・閉眼時でαリズムが最も安定して出現している部分を分析対象とした。AR、SR、RRの値は、頭皮上および深部のいずれの場合においても、標本をで同一にとった場合にはこれらの値は経時的に変化し、一定の値をとることはなかった。標本長を7.2秒間として、頭皮上および深部脳波のAR、SR、RRの時間的推移を1分間以上に亘って連続的に観察し、両者のαリズムについて比較した(図7~9)。

ARのサンブル時間内の平均値は視床が最も高く、次いで白質、頭皮上の順であった(図7)。これは視床脳波の DSR (α 波) 成分が白質や頭皮上に比して高く、白質や頭皮上では DSR 以外の不規則周波数成分が視床より多いことが示されている。 AR の経時的推移では、視床と白質部の間に有意の相関が認められたが(p<0.05) 視床と頭皮上の関係は低かった。 SR、RR はいずれも視床が最も高く、白質部および頭皮上は視床の約1/2~2/3の値を示した(図8、9)。すなわち、視床脳波の DSR (α 波) のリズムの

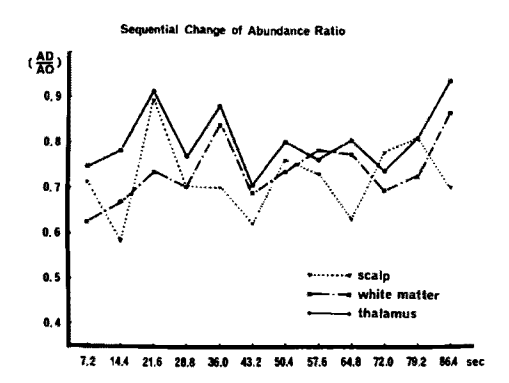


図 7 Abundance Ratio の経時的変化 46歳男子―Grade I, 頭皮上,白質部(皮質下 2 cm),視床より同時に導出した脳波について約7.2秒 毎に (Δ τ=2.56msec,τmax=327.68msec, T=τmax×22)オートコレログラムを求め Daniel 氏法により計測した。説明本文,

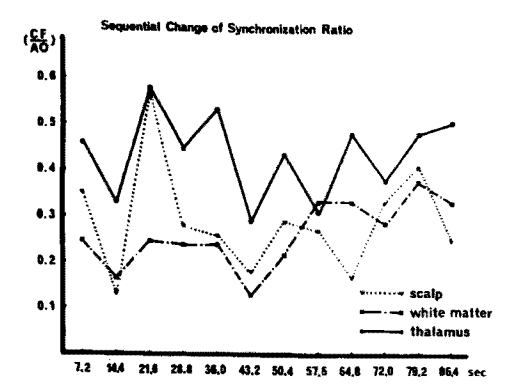


図 8 Synchronization Ratio の経時的変化 図 7 と同じコレログラムを計測して求めた。 SR は視床で最も高く、白質部、頭皮上の順 になっている。視床は頭皮上の約 2 倍の値 を持ち、視床の DSR (α 液) の規則性が良 好なことが示されている。

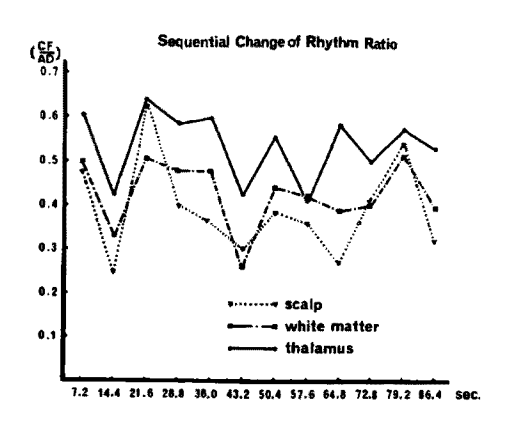


図9 Rhythm Ratio の経時的変化図7,8と同じコレログラムを計測して求めた。説明本文。

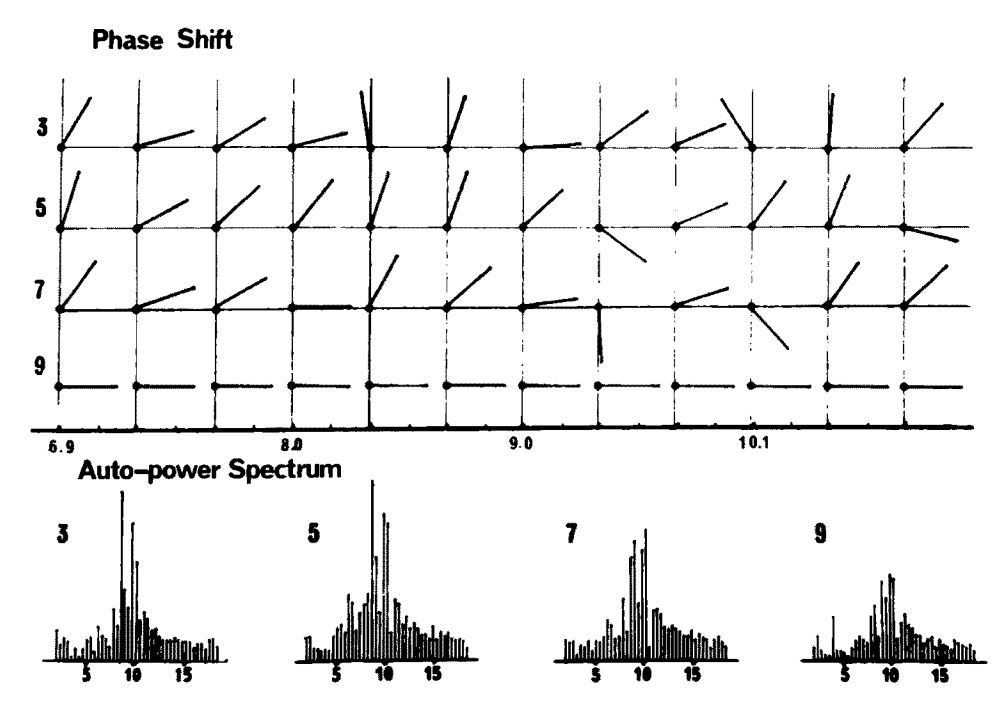


図10 頭皮上脳波の周波数スペクトルと部位間位相差 52歳女性(Grade II a),右側耳介を不感電極として前頭部(3),中心部(5),頭頂部(7),後頭部(9)から導出. 位相差の上向きの振れは後頭部に対する各部位の位相の進みを表わす.コヒーレンスが高かった8.4Hz お よび9.6Hz, 10Hz では前頭部に位相の進みがみられる.

安定性や規則性は白質部や頭皮上の脳液の約1.5~2倍の値を持つといえる.またこれらの時間的推移をみると,SRでは視床と頭皮上の間に,RRでは視床と白質部ならびに視床と頭皮上の各脳波の間にそれぞれ有意の直線関係が認められ(p<0.05),視床・白質部・頭皮上の三者のリズムが密接な関係を持つことが示唆された.なお,三者の相互間直線関係に関与する寄与率は35~40%であった.

(2) 頭皮上脳波の部位間位相関係

約30秒間の脳波から、自己および相互相関々数を求め、更に Fourier 変化によりオートならびにクロスパワスペクトルと位相差、コヒーレンスを算出した、図10にその一例を示す、後頭部を基準として頭皮上の各部のα波の位相関係をみると、各周波数によりその位相差の程度は異なり、また位相関係にも多少のバラツキが認められたが、全般的に前頭に向う程位相の進みは大きかった。優位周波数帯域の8~10Hzでは後頭←→前頭間で大きいものでは90°以上の位相差を示した。一般に前頭部←→中心部の位相差に比べて中心部←→頭頂部間あるいは頭頂部←→後頭部間の位相差が大きいという傾向がみられた。

(3) 頭皮上と深部脳波の位相関係

1) クロスコレログラム

頭皮上と深部脳波のα波の位相関係をみるために、4例(I群2例、II a群2例)について相互相関々数の遅延0近傍のピークのphase shift (ps)を計測した(図11). このpsは脳波の性質上その絶対置を位相差とすることは出来ないが、優位周波数成分の大まかな位相関係の指標にはなりうる。分析時間には3.5秒間の小区間分析と30秒および60秒間の長時間分析の三者について計測した。

3.5秒間の小区間分析による視床の頭皮上に対する ps は一定の値を示さず,同一症例においてもサンプリングによってその値は変化し、また時に相互の位相関係の逆転も認められた。 4症例の ps では,視床は頭皮上に対して±20msec(正方向は視床の位相の進みを示す)以内の値を示し,分析時間が長くなると ps は小さくなる傾向がみられた。

図12に小区間分析による ps の経時的変化の1 例を示すが、視床の ps は - 5 ~ +12msec の間にあり、一定の値は持たないが視床の α 波に位相の進みを見る場合が多かった。この例の長時間分析では、30秒間で+8 msec、60秒間で+6 msec の位相差を示すことから、視床の α 波が位相の進みを持っていると云える。しかし、症例によっては視床の位相の遅れを示す場合もみられたが、この場合においてもサンプリングを数多くとれば視床に位相の進みをみる場合が多か

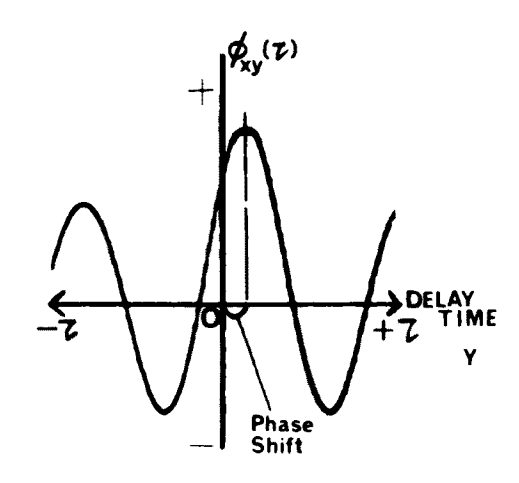


図11 phase shift の計測 視床および頭皮上から同時導出した脳波か らクロスコレログラムを求め、遅延0から ピークまでの時間を計測した。説明本文、

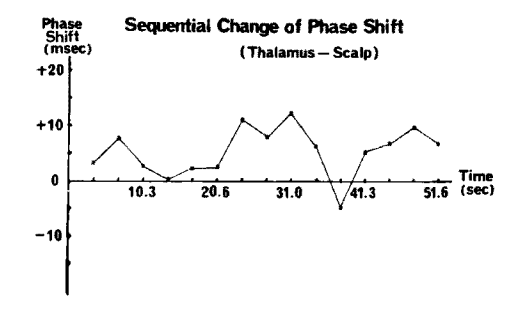


図12 Phase shift の経時的変化 $46歳男子(Grade\ I\)$ 、同時に導出した視床と頭皮上脳波からクロスコレログラム (\triangle τ =2.56msec, τ max=163.84msec, $T=\tau$ max \times 21)を求めphase shift を算出した。+側の値は頭皮上の遅れを示す。

った. すなわち, 頭皮上と深部の位相関係は定常なものでは無く, 相互に不規則に位相関係の逆転をみるが, 視床に位相の進みを認める場合が多かった.

2) クロススペクトル分析

頭皮上と深部間の相関性を周波数毎に検討するために、6例(I群1例、IIa群2例、IIb群2例、IIIB科1例)についてクロススペクトル分析を行なった。なお、分析時間は50~60秒とした。

6 例中クロスパワ, コヒーレンスが α 波およびその近傍周波数帯域で充分大きく, 位相関係の信頼性が認められる 5 例のうち、 4 例は視床

が頭皮上に対して位相の進みをしたが、1例は 逆に頭皮上に位相の進みを認めた。視床に位相 の進みをみる例では、視床→白質→頭皮上の順 で位相の遅れを認めたが、視床と頭皮上間の位 相差は周波数毎に異なり、4例の優位周波数の 位相差は10°~90°であった(図13)。

深部電極間の位相関係を詳細に検討出来た1 例では、視床腹外側核と1.5cm離れた視床背外側 部との間に30°の位相差が認められ、腹外側核部 に位相の進みがみられた.

徐波帯域および速波帯域では α 波近傍周波数 帯域を除いて、全般的にクロスパワ、コヒーレ ンス共に低く有意の位相関係は認め難いと思わ

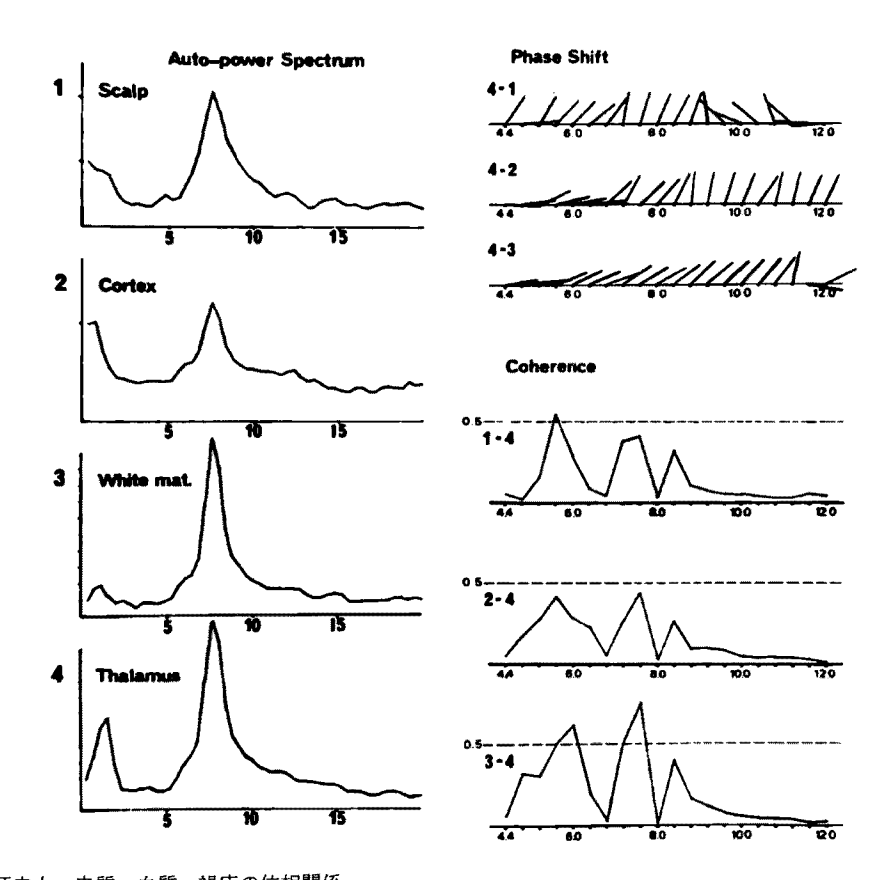


図13 頭皮上,皮質,白質,視床の位相関係 頭皮上,皮質,白質(皮質下 2 cm),視床より同時に導出した脳波よりえられたオートパワスペクトルおよび視床に対する各導出部位の位相差とコヒーレンス

55歳男子($Grade III) <math>\triangle$ τ =10.24msec, τ max \Rightarrow 2.62sec, T= τ max \times 22, \triangle f=0.4Hz, 優位周波数は7.6Hz で徐化が強い。各導出部位の優位周波数はほぼ一致しており、視床に対するコヒーレンスも7.6Hz で高い値を示す。位相関係も7.6Hz で視床は頭皮上に対して72°、皮質に42°、白質に34°位相の進みがみられる。また5、6Hz でもコヒーレンスが高く、同様の位相関係を示す。

れたが、コヒーレンスが有意レベルを越えた1 例では、5.6Hzで視床から頭皮上に向う漸進的 位相差が観察された。

α波の位相伝播の速度を周波数と位相差から 算出すると、視床←→頭皮上中心部間を刺入された深部電極の平均的深さを6.5cmとした場合、 2.4~21.6m/s が得られた、

綜括ならびに考按

1. パーキンソニズムの頭皮上脳波

パーキンソニズムの脳波については、これまでにも数多くの報告がなされている。諸家の報告をまめると、パーキンソニズムの脳波の特徴はα波の徐化(slowing)と dysrhythmia であり、パーキンソニズムに他の特異的な脳波変化はないとされている^{17)20)22)24)38)39)51)52)55)62)65)69).}

本研究では脳波像を周波数領域のパワスペク トルの面からその微細構造について検討し、パ ーキンソニズムの脳波変化の特徴を定量的に把 握することを試みた、今回の結果では、諸家の 報告と同様に、α波の徐化とこれと密接な関係 にある α 波の帯域比率の低下, θ 帯域比率の上 昇が示され、これらはわれわれの手術適応の基 準との密接な関連性が認められた。 われわれの 手術適応の規準は定位脳手術の遠隔成績から分 類したものであり、Yahrら81)の病状進行度と全 く一致する44)。すなわち病状の進行に伴って一側 から両側性に症状の出現がみられ、ADL の低下 と共に bradykinetic な症状が強く現われて来る. これまでにも α 波の徐化を bradykinesia と関連 づけた報告がみられるが17)20)55), 今回の結果はこ れを強く支持するものであろう. しかし, bradykinesia がわれわれの手術適応の段階に沿って直 線的に強くなると仮定した場合,α波の徐化の 程度との関係は有意であるが、相互依存性は40 %程度であり、統計的には病状進行度と α 波帯 域比率の関係の方がより強いと云えるようであ る. 病状進行度と α 波帯域比率の相互依存性が 98%と極めて高い値を持つことは、脳波がパー キンソニズムの手術適応や病状進行の程度を判 定する上に有力な補助手段となり得ることが示 されている。また、抗パーキンソン剤などの投 与により臨床症状が改善しても脳波所見は悪化 する例が多いことも、病状進行度を知る上で脳波は有用であることが強調されている¹⁷⁾⁶⁵⁾.すなわち、脳波で平均周波数が得られれば、図3、4-A、4-Bを参考にすると病状進行の程度の大略を脳波のみからでも把握し得ると思われる。病状進行度に沿って分けた帯域平均比率(図3)で、Ha群はI群に、Hb群はII群にそれ

3)で、II a群は I 群に、II b 群はIII群にそれぞれ近似のパターンを呈することは興味深い。この II a と II b を II 群としてまとめたのは、臨床症状や定位脳手術を行なった直後の成績では両者に明らかな差異を認めるが、遠隔成績の良い例を比較してみるとこれらは区別出来ないという統計的、臨床的事実にもとづいている⁴¹¹. しかし脳波上からは明らかな差が認められ、この差は今後検討すべき問題であろう。

パーキンソニズムの患者年齢が平均55歳を越えることから、 α 波の徐化と加齢や背景の脳循環動態との関係を考慮する必要がある。高齢者脳波に関する諸家の一致した見解は、 $70\sim80$ 代においても神経学的に異常のない例では、若年者に比較して平均周波数で1 Hz 程度減少して平均9 Hz であると云われている $^{42)47)56)66}$. α 波の徐化を動脈硬化性病変と関連づけた報告もあるが $^{24)53}$, 加齢や循環動態の影響を否定し、病態そのものとの関連を重視する報告が多い $^{20)65)68}$. 今回の結果でも、年齢と優位周波数、年齢と α および 6 帯域比率の間には何ら有意の関係はみられず、病態そのものに依る脳波変化であることが明確に示された.

パーキンソニズムの脳波の特徴抽出の一環として、正常健康者との対比のもとに、いくつかのパラメータ間の関係について検討する際に、パワスペクトルを帯域比率に変換して個体間の比較を行なった。これは、脳波の個体差や個体の経時的変動が量的に把握されていない現時点において、パワスペクトルの周波数分解能とパワの値の間の信頼性が臨床的立場に十分反映されるように意図したためである。すなわち、周波数分解能を小さくすればする程、個々のパワスペクトルの値の信頼性は低くなり、逆に周波とから28, 脳波の統計的性質の検討に対する一つの方法として、また同時に臨床的意義も十分に満

足させるよう勘案したためである。この結果、 優位周波数と各帯域比率の関係をみても、「パ群 | 「対照群」「パ群+対照群」のいずれもほぼ等し い相関性を示していた. しかし, 優位周波数と 各帯域比率の関係が広帯域と狭帯域で異なった り、また狭帯域の関係の細部が「パ群」と「対 照群」で多少異なっていた。これはパワスペク トルが優位周波数を中心とした左右対称性の分 布を持たず、時には多峰性ピーク形態を示すこ となどから、優位周波数の変動がパワスペクト ルの細部に与える影響は少なく、その結果とし て狭帯域との関係はバラツイて来るものと考え られる、「パ群」と「対照群」の差異は両者の優 位周波数に差があるためと思われる。また、優 位周波数とその近傍周波数が幅広く分布する「パ 群」を「対照群」と一緒にした統計値では、パ ワスペクトルで優位周波数とその近傍の帯域比 率が強いため、優位周波数と各狭帯域の間の相 関性が幅広くなって来るものと考えられる.

これらの事項から、「パ群」と「対照群」の脳波の統計的性質は本質的に異なるものでは無いと思われ、「パ群」の特徴は優位周波数 (α波)の徐化とそれによって影響を受ける各帯域比率の変化ということになり、進行例においては、本来のα波の定義からはずれるが、7.2Hz あるいは6.9Hz のα性律動またはα波の異常徐化の存在を示すものと考えられる。

2. 深部脳波と頭皮上脳波の相関

(1) 深部脳波について

ヒトの深部脳波については種々の疾患の治療の場を通して、ヒトの皮質下機構の研究の一環として検討されて来た²⁶⁾⁶³⁾⁶⁴⁾⁷⁵⁾⁷⁸⁾. しかし、深部脳波に関する系統的研究は少なく、多面的且ごに検討が進められている頭皮上脳波に較なて、ヒト深部脳波についてはまだ知られているとが多い。頭皮上脳波と密接な関係があると思われる視床を中心とした深部脳波に関すしたとが多い。現た近傍では頭皮上と同じくα波が主体であり、頭皮上のα波は視床由来のものばかりでは無く、開眼や疼痛刺激による反応をみても、両者の反応がindependentであることもある⁶⁾¹¹⁾²⁶⁾⁷⁰⁾⁷⁸⁾. また、α波やその近傍周波数では高電位で、頭皮上の2~3倍を示し、

皮質下 2 cmで最大であることや、電極間距離の数mmの変化で脳波の様相が大きく変わるが、解剖学的および機能上から予想される特徴的所見は無いとされている³³¹¹¹⁵²¹⁵⁵¹、これまでの報告では、α 波に限ってみても、頭皮上脳波と深部脳波は全く無関係であるとは云えないが、相互のindependent な面が強調されている³¹¹¹๑²٤๑¹₄⁵¹₅⁵¹⟩⁵⁵).

今回の結果は、脳波の肉眼的観察の面では諸家の報告と全く同じであるが、種々の相関分析的手法を用いることによっていくつかの知見が得られた。α波に限って列記すると、1)視床と頭皮上のα波のスペクトル構造は軽症例では近似性が認められる。2)頭皮上ではなだらかな単峰性あるいは多峰性ピークを持つが、視床では峰幅の狭いスペクトルピークを示すことが多い。3)両者の優位周波数は多くは一致するが、一致しないこともある。4)視床のα波の規則性および安定性は頭皮上に比較して著明に高い。5)進行例の一部を除いて、両者のα波活動に密接な関連性がある。

これらの結果から視床深部脳波と頭皮上脳波 の関係を検討する際に,両者の生理学的特質と 両者の記録電極による記録範囲の差の両面から 考察する必要がある。一般に、頭皮上では 6 cm² の範囲が等電位であるが、脳内ではこの1/10と 云われている。したがって両者のパワスペクト ルは、この記録範囲のサンプリング時間内の平 均過程を示すものである. 頭皮上は視床に較べ て非常に広範囲の周波数活動が記録されている ので, 皮質の広汎に同期化した成分と局部的成 分や、周波数で安定して出現する成分と一過性 成分の各々が混在したものの平均過程が示され ている。このためα波のスペクトル構造は、全 般的になだらかな単峰性かあるいは多峰性スペ クトルを形成するものと考えられる。他方, 視 床では極めて狭い範囲内の周波数活動を反映し ていると思われ、比較的均一な周波数活動がみ られる。これは、パワスペクトル構造だけでな く、コレログラムの計測値で AR, SR, RR をみ ても頭皮上では不規則成分が多いことや、DSR (α波) の規則性や安定性が低いことからも明 らかである. また, このような相関分析の面か らみれば、視床脳波のα波と種々の周波数活動 が広範囲に平均化された頭皮上のα波が、脳波の肉眼的観察からでは位相関係を含めて一対一の対応関係が認められないことは容易に理解出来る。しかし、数mmの範囲を記録する銀ボール電極による皮質脳波と頭皮上脳波のパワスペクトルや AR, SR, RR の値が両者で近似であることは、頭皮上の不規則性周波数活動が大脳皮質の生理学的特徴を示しているとも考えられる。

パワスペクトルにおける優位周波数が視床と 頭皮上で必ずしも一致しないことは、前述の如 く頭皮上脳波の平均過程を考えた場合、両者間 の密接な関係を持った α 波の存在を否定するこ とにはならない。AR、SR、RR の経時的推移で 頭皮上と視床の間に有意の直線関係が存在する ことや、両者のクロスパワスペクトルが α 波帯 域で大きく、また有意のコヒーレンスが得られ ることなどは、いずれも両者間に密接な関係を 持つ α 波成分が存在することを示すものである。

視床深部脳波の α 波スペクトルは、同側耳介を基準電極とした場合に電極先端の視床腹外側核から1.5~2 cmまでの間で明確な差を示さない、これは脳内では数mmの変化で脳波の様相が大きく変わるという諸家の報告と異なる。 著者が使用した電極の記録範囲がやや広いことも考えられるが、深部短距離間の位相差の存在から、周波数活動はサンプル時間内に平均化されて極めて良く似たスペクトルを示すという可能性もあり、クロススペクトル分析の立場から今後更に検討を要する問題であると考えられる。

視床深部脳波の α 波以外の成分は、相関分析の面からみても、これまでの報告と全く同じである。徐波には特徴的所見はみられないが、速波は皮質および皮質下 2 cmの白質に強く、皮質に固有の成分であると思われた。しかし、この速波を頭皮上と皮質のパワスペクトルで比較した場合、皮質から頭皮上へ field spread により伝播される際に頭蓋骨や頭皮で filt out されているようにみえる。これは、前述の如く頭皮上の記録範囲が広いことから、皮質の局在性成分である速波が互いに in phase でないため、頭皮上では平均化されて速波成分が少なくなると思われる

開眼時の視床深部脳波は、軽症例では頭皮上

と同様に α 波およびその近傍周波数帯域で著明なパワの減衰がみられたが、進行例では影響は少なく、視床においてこの傾向はより顕著であった。 England ら¹⁷⁾は開眼時パーキンソニズムの頭皮上脳波の変化を綱様体賦活系の侵襲と関連づけているが、開眼による反応が病状進行の程度と相関することはまた興味深い。

(2) 頭皮上と深部脳波の α 波の位相関係について

Adrian ら²によって頭皮上の前頭部と後頭部 でα波が180°の位相差がみられることが指摘さ れて以来、これまでにも種々の方法によってこ の位相関係について検討が行なわれて来た。位 相差の説明として本川48は、1)物理的波及説、 2) 生理学的協調説、3) 準定常波説の3つを 考え、このうち生理学的協調説を最も可能性が あるものと考えた。しかし一条34)は脳波の導出 法による見かけ上の現象として説明できる場合 があることを示して、その評価に際して注意を うながしている. α 波の位相関係の生理学的意 味付けについては、現在も未解決な問題が多い が、脳の導出部位間の生理的協調作用に関する 有力な情報源と考えられ79, α 波発生機構の解明 の重要な手掛りとして検討が進められてい る21)33)37)40)49)74)76)。しかし、これまでの報告では 頭皮上に関するものにほぼ限定されており、脳 深部との関係について検討されたものは極めて 少なく, 頭皮上の α 波の位相関係の生理学的意 義に関するいくつかの推論も、皮質下との関係 についてはこれを裏付ける根拠に乏しいもので ある.

これまでに報告された α 波の位相関係についてみると、頭皮上では左右の半球間の位相差は僅少であるが、前後方向で位相差が大きいと云われている $^{21}^{127}^{133}^{135}^{131}^{137}^{177}$. 前後方向では,前頭から後頭に向かって位相の遅れをみる場合やこの逆のこともあり,時間経過でこの関係の逆転が繰り返されることもある $^{11}^{115}^{125}^{125}$. この漸進的位相の関係は,"sweep of alpha","travelling wave" 或いは位相の伝播と表現され,頭皮上前後方向の位相伝播は被験者に比較的固有であるとも言われている $^{511}^{125}^{131}^{131}$. 一般に前頭に位相の進みをみることが多く,鈴木ら $^{72}^{73}^{131}^$

ペクトル分析の結果では前頭・後頭部間で90° ~180°の差が得られている. 左右半球間では, 前 述の如く僅少で平均0.83~2.5msec であり、半 球間の位相伝播を示唆するような一側の定常な 位相の進みはみられないとされている21)60)76) し かし、左右対称部の位相関係が3~5秒に1回 の割合で逆転したり、位相差も前頭では小さい が後頭では大きくなることや、頭皮上を時計方 向あるいは反時計方向に位相差の回転がみられ ることもあるなど、頭皮上の α 波の位相関係は 複雑な性状を示している21)27)30), α 波の位相伝播 の生理学的意義については明らかではない。し かし,位相伝播の方向が意識水準で変わったり68), 左右半球の位相関係が精神活動により変化して 特有のパターンを示したり36,精神遅滞者や汎性 α波を示す例では正常者と異なるという報告も ある33)61)。これらの結果から位相伝播の方向が何 んらかの脳の機能に関与していることが推定さ れている.

本研究において、頭皮上の前後方向の位相関係についてクロススペクトル分析を試みたが、鈴木ら⁷³⁾の結果と全く一致し、前頭から後頭に向う位相の伝播を認めた。鈴木は位相差が中心部から頭頂部で大きいが、この部分でのコヒーレンスの値が低いことを重視している。この現象は Toposcope による研究でも指摘されており²⁵⁾、このことからも α 波の位相関係の機序は単純に皮質過程だけでは説明出来ず、皮質下機構との関連の下に追求されるべきである考えられている²⁸⁾⁷⁷⁾

頭皮上と深部の α 波について、相関分析法の開拓者の一人である Brazier®191も両者間の密接な関係を認めている。本研究の α 波位相関係の結果では、クロスコレグラムの計測による phase shift の一方向への優位性やクロススペクトル分析における位相関係をみても、頭皮上脳波と視床深部脳波の α 波の密接な関係が示された。また、 α 波の位相関係が視床→白質→皮質→頭皮上あるいはこの逆方向の方向性が存在することは、皮質固有とされる位相伝播が視床←→頭皮上間にも存在することを示し甚だ興味深い。Cooper 6^{121} も深部から皮質に向う位相の伝播を認めており、いわゆる"travelling wave"の皮質下

起源説についても考察している。本研究結果では、視床から頭皮上に向かう位相伝播の方向を示すものが多いが、逆方向のものもあり両者の位相関係を皮質下起源の"travelling wave"で説明することは困難である。AR、SR、RRの頭皮上と視床間の関係をみても、相互のα波が密接な関係を持つが、また相互の独立性もみられることから、この視床←→頭皮上の位相伝播の存在は視床・皮質が一体となってα波の調整を行なっていることを示すものと思われる。

α 波のような広汎に同期化されたリズムの発 生機序として、古くから概念的にはいわば多く の発振器ともいえるもの同志が相互に部分的に 影響し合って安定したリズムを作り出すという Wiener⁸⁰⁾の理論で説明されている。しかしこの 発振器の生理学的あるいは解剖学的意義付けに ついては現在も十分になされていない⁴⁹, α波の 発生機構における位相差の発現機序は、頭皮上 の知見から次のように考えられている。すなわ ち、皮質細胞群の興奮によって生ずる同期化の 程度は細胞相互間の引っぱり込み(mutual induction)の強さによって定まり、これが皮質のⅢ~Ⅳ 層を経て伝えられるいわゆる "travelling wave" の影響を受けて α 波の位相差を生ずる¹¹⁾⁵⁹⁾。こ の皮質過程における機序の説明に対して, 脳内 位相伝播の機序は全く解っていない。α 波の位 相伝播の速度は、頭皮上で1~20m/sといわれ ており***), 今回の著者の成績でも視床・皮質間を 直線距離の6.5cmとした場合2.4~21.6m/s の値 が得られ、頭皮上と極めてよく一致する。しか し視床深部の1.5cmで α 波の位相差が30°を示す 例がみられたことは、皮質下では頭皮上と比較 して位相伝播の速度がおそいという可能性も考 えられる.

根床と皮質間の位相伝播は視床非特殊系や視床・皮質下同期系などを介して行なわれていると思われる³¹¹³⁵¹⁴6⁵⁵°.これは,視床内の諸核と頭皮上の比較的限局した部分の間に相互の脳波に強い直線関係があるという Brazier®の報告やAndersen ら⁴の実験結果, さらに頭皮上脳波のα波の位相関係の近似性から頭皮上を3つに分けられるという Hori ら³®の報告もこれを示唆するものと考えられる。また, 視床と頭皮上間の

限局された部分の直線関係は睡眠によって失われることは⁹,これらの同期系がより下位の脳幹網様体のコントロールを受けていることを示すものと思われる。

この研究では視床腹外側核に深部電極を挿入した関係で、これと最も密接な関係にある頭皮上中心部の α 波について分析したが、位相伝播の脳内機序の解明には、前述した視床・皮質間の同期系に関与する皮質下諸核間の詳細な検討を要すると考えられる。

結 論

パーキンソニズム患者の定位的視床手術の際 に得られた頭皮上ならびに視床を中心とした深 部脳波について相関分析を行ない次のような結 果を得た。

- 1) パーキンソニズム患者の頭皮上脳波の特徴は、α波の徐化と優位周波数(平均周波数) の近傍周波数帯域の帯域比率の変動で示され、 これらは病状進行の程度と直線関係が認められた。
- 2) 優位周波数と帯域比率の関係からみると、 パーキンソニズム患者の脳波は、その統計的性 質において正常健康者の脳波と同じである。
- 3) 視床を中心とした深部脳波の α 波および その近傍周波数帯域のスペクトル構造は、軽症

例では近似性が認められたが,進行例では差異が出現する傾向がみられた。また,開眼時に軽症例では頭皮上・深部共に同様に反応するが,進行例では両者の反応に差が認められた。

- 4) 頭皮上と深部には密接な関係を持つ α 波 成分が存在したが、各々の独立性を示す所見も 認められた。
- 5) 頭皮上の α 波の位相関係は前頭 \longleftrightarrow 後頭間で90°以上の位相差が認められ、前頭から後頭に向う位相伝播の方向性がみられ、頭頂・後頭間の位相変化が顕著であった。
- 6) 頭皮上と深部間で α 波および近傍周波数で位相伝播がみられ、視床→白質→皮質→頭皮上あるいはこの逆方向の位相伝播が認められ、頭皮上と視床間の α 波の位相差は 10° ~ 90° であった。
- 7) 頭皮上と視床の位相差から位相伝播の速 度は2.4~21.6m/s であった。

以上の結果につき、文献的考察を加え報告した。

稿を終えるにあり、終始御懇篤なる御指導と御校 関を戴いた恩師西本詮教授ならびに、徳島大学脳神 経外科松本主蔵教授、および香川大学脳神経外科大 本堯史教授に心からの感謝を捧げます。

文 献

- 1) 赤池弘次:スペクトル解析「相関々数およびスペクトル」、磯部編、東大出版会、東京 (1968) pp. 28-46,
- 2) Adrian ED and Yamagiwa K: The origin of the Berger Rhythm. Brain (1935) 58, 323-351.
- 3) Albe-Fessard D, Arfel G and Guiot G: Activités électriques caracteristiques de quelques structures cerebreles chez l'homme. Ann chir (1963) 17, 185—214.
- Andersen P, Andersson SA and Lφme T: Nature of thalamocortical relations during spontaneous barbiturates spindle activity. J Physiol (1967) 192, 283-307.
- 5) Barlow JS and Estrin T: Comparative phase characteristics of induced intrinsic alpha activity. Electroencephalogr Clin Neurophysiol (1971) 30, 1-9.
- 6) Brazier MAB and Casby JU: An aplication of the M. I. T. digital electronic correlator to a problem in EEG. Electroencephalogr Clin Neurophysiol (1951) 3, 375.
- 7) Brazier MAB and Casby JU: Crosscorrelation and autocorrelation studies of electroencephalographic potentials. Electroencephalogr Clin Neurophysiol (1952) 4, 201-211.
- 8) Brazier MAB and Barlow JS: Correlation analysis of the depth recordings from the basal ganglia. Electroencephalogr Clin Neurophsiol (1957) 9, 171.

- 9) Brazier MAB: Electrical activity recorded simultaneously from the scalp and depth structures of the human brain. J Nerv & Ment Dis (1971) 147, 31-39.
- 10) Bruck MA: Average voltage as a measure of phase synchrony in the EEG. Electroencephalogr Clin Neurophysiol (1965) 19, 601-605.
- 11) Cooper R and Mundy-Castle AC: Spatial and temporal characteristics of the alpha rhythm; a toposcopic analysis. Electroencephalogr Clin Neurophysiol (1960) 12, 153—165.
- Cooper R, Winter AL, Crow HJ and Walter WG: Comparison of sub-cortical, cortical and scalp activity using chronically indwelling electrodes in man. Electroencephalogr Clin Neurophysiol (1965) 18, 217—228,
- 13) Cracco RQ: Travelling waves of the human scalp-recorded somatosensory evoked response: effects of differences in recording technique and sleep on somatosensory and somatomotor responses. Electroencephalogr Clin Neurophysiol (1972) 33, 557-566.
- 14) Daniel RS: Electroencephalographic correlogram ratios and their stability. Science (1964) 145, 721 —722.
- 15) Darrow CW, Wilcott RG, Siegel A, Stroup M and Arrons L: Instrumental evaluation of EEG phase relationships. Electroencephalogr Clin Neurophysiol (1956) 8, 333—336.
- 16) Diemath HE, Enge S and Lechner H EEG depth leads during stereotaxic brain surgery, Confin Neurol (1970) 32, 263-271.
- 17) England EC, Schwab RS and Peterson E: The electroencepharogram in parkinsons syndrome. Electroencephalogr Clin Neurophysiol (1959) 11, 723—731.
- 18) 藤森聞一, 他編:「脳の電気現象の分析法とその応用」, 医学書院. 東京 (1966).
- 19) 藤原秀雄,長嶋秀世,高橋静昭,斉藤泰彦,小林敏孝:脳波の三次元頭皮上電位分布を用いた脳波発生源の推定法,工学院大学研究報告(1985)50,167-171.
- 20) 古幡憲郎: Parkinson 病の脳波学的研究. 脳波と筋電図 (1979) 7, 283-291.
- 21) Garoutte B and Aird R: Studies on the cortical pacemaker; synchrony and asynchrony of bilaterally recorded alpha and beta activity. Electroencephalogr Clin Neurophysiol (1958) 10, 259—268,
- 22) Ganglberger JA: The EEG in parkinsonism and its alterations by stereotaxically produced lesions in pallidum or thalamus. Electroencephalogr Clin Neurophysiol (1961) 13, 828.
- 23) Giannitrapani D and Darrow CW: Differences in EEG time relationships in right and left handed individuals. Electroencephalogr Clin Neurophysiol (1963) 15, 721,
- 24) Hassler R, Riechert T, Mundinger F, Umbach W and Ganglberger JA: Physiological observations in stereotaxic operations in extrapyramidal motor disturbances. Brain (1960) 83, 337—350.
- 25) 早坂 啓: 計数管トポスコープによる脳波の研究. 精神神経誌 (1062) 64, 781-794、
- 26) Hayne RA, Belinson L and Gibbs FA: Electrical activity of subcortical areas in epilepsy. Electroencephalogr Clin, Neurophysiol (1949) 1, 437—445.
- 27) Hoovey ZB, Heinemann U and Creutzfeldt OD: Interhemispheric synchrony of alpha waves. Electroencephalogr Clin Neurophysiol (1972) 32, 337—347.
- 28) Hord PJ, Johnson LC, Lubin A and Austin MT: Resolution and stability in the autospectra of EEG. Electroencephalogr Clin Neurophysiol (1965) 19, 305-308.
- 29) Hord DJ, Nation P and Johnson LC: Intensity and coherence contoures during self-regulated high, activity. Electroencephalogr Clin Neurophysiol (1972) 32, 429-433.
- 30) Hori H, Hayasaka K, Sato K, Harada O and Iwata H: A study on phase relationship in human alpha activity. Electroencephalogr Clin Neurophysiol (1969) 26, 19-24,

- 31) Horuath FE and Buser P: Thalamic-caudate-cortical relationships in synchronized activity. I. Differentiation between ventral and dorsal spindle systems. Brain Research (1972) 39, 21—41.
- 32) Imahori K and Suhara K: On the stastical method in the brain wave study. Part I. Folia Psychiat. et Neurol Japonica (1945) 3, 137—55.
- 33) 井上 健, 篠崎和弘, 矢ヶ崎明美: 汎性 a 波の伝播方向について. 臨脳波 (1983) 25, 314-319.
- 34) 一条貞雄:α波の部的位相差について、臨脳波(1974) 16,603-608,
- 35) Jasper HH: Diffuse projection system. Electroencephalogr Clin Neurophysiol (1949) 1, 405-419.
- 36) 時々輪浩穏, 本岡崇子, 清野茂博, 渡部 悟: α 波の位相の半球間連関, 臨脳波 (1983) 25, 304-313,
- 37) Joseph JP, Remond A, Rieger H and Sesiver N: The alpha average. II. Quantative study and the proposition of a theoretical model. Electroencephalogr Clin Neurophysiol (1969) 26, 350-360.
- 38) Jurko MF and Andy OJ: Serial EEG study following thalamtotmy. Electroenceohalogr Clin Neurophysiol (1965) 16, 500-503.
- 39) Laidlaw J and Catling J: An EEG assessment of encephalopaty in parkinsonism. J Neurol. Neurosurg and psychiatry (1964) 27, 232—236.
- 40) Lehmann D: Multichannel topography of human alpha EEG fields. Electroencephalogr Clin Neurophysiol (1971) 31, 439—449.
- 41) Liske E, Hughes HM and Stowe DE: Cross-correlation of human alpha activity; normative data. Electroencephalogr Clin Neurophysiol (1967) 22, 429—436.
- 42) 柄澤昭秀, 川島寛司, 笠原洋勇: 老人における α 波周期, 臨脳波 (1978) 20, 174-182.
- 43) 河島敏彦, 藤本秀雄, 宇都宮敏男: α 波の発生状態と視覚刺激誘発脳波の相関性, 電子通信学会技術報告 (1982) 81, MBE81-99.
- 44) 松本圭蔵, 大本堯史, 難波真平, 宮本俊彦: パーキンソニズムに対する定位脳手術, 外科治療 (1971) **24**, 245—252,
- 45) Meyers R, Knott JR, Hayne RA and Sweeney D: The surgery of epilepsy. J Neurosurg (1950) 7, 337-346.
- 46) 六川二郎, 中田崇朝: 視床疾患の脳波. Clin Neuroscience (1985-6) 3, 654-658,
- 47) Mundy-Castle AC, Hurst LA, Beerstecher DM and Prinsloo T: The electroencephalogram in the senile psychoses. Electroencephalogr Clin Neurophysiol (1954) 6, 245–252.
- 48) 本川弘一:脳波, 共立出版, 東京 (1947) pp. 72-84,
- 49) 森薗正樹,渡辺裕貴,滝川守国,松本 啓:ヒト脳波の相互相関に関する定量解析.脳研会誌(1984)10,78-79.
- 50) Newmark ME, Theodore WH, Sato S, De LA Pazr, Patronas N, Brooks R, Jobbari B and Dichiro G: EEG, transmission computed tomography and position emission tomography with Fluorodeoxy grucose 18F: their use in adults with gliomas. Arch Neurol (1983) 40, 607—610.
- 51) 西本 詮, 松本圭蔵, 大本堯史: パーキンソニズムの視床腹外側核を中心とした脳波学的知見について一視 床脳波分析について. 臨脳波 (1969) 11, 181-192.
- 52) 西本 詮, 松本圭蔵, 大本堯史, 谷川雅洋, 宮本俊彦, 村上昌穂: 視床深部脳波 その脳波分析と臨床像の関係, 臨脳波 (1971) 13, 315—325.
- 53) Obrist WD, Sokoloff L, Lassen NA, Lane MH, Butler RN and Feinberg I: Relation of EEG to cerebral blood flow and metabolism in old age. Electroencephalogr Clin Neurophysiol (1963) 15, 610-619.
- 54) Okuma T, Shimazono Y, Fukuda T and Narabayashi H: Cortical and subcortical recornings in non-anesthetized and anesthetized period in man. Electroencephalogr Clin Neurophysiol (1954) 6,

- 269-286.
- 55) 大本堯史:パーキンソニズムの視床腹外側核に関する電気生理学的研究(I). 岡山医誌 (1967) **79**, 281—295.
- 56) Otomo E and Tsubaki T: Electroencephalography in subjects sixty years and over. Electroencephalogr Clin Neurophysiol (1966) 20, 77-82.
- 57) Papakostopoulos D, Cooper R and Waltar WR: A technique for measurement of phase relations of the EEG. Electroencephalogr Clin Neurophysiol (1971) 30, 562-564.
- 58) Petsche H and Rappelsberger P: Influence of cortical incisions of synchronization pattern and travelling waves. Electroencephalogr Clin Neurophysiol (1970) 28, 592—600.
- 59) Petsche H and Sterc J: The Significance of the cortex for the travelling phenomenon of brain waves. Electroencephalogr Clin Neurophysiol (1968) 25, 11-22.
- 60) Rusinov VS and Grindel OM: Correlation analysis of central EEG rhythms of the healthy human cortex; in electrophysiology of the central nervous system. Rusinov ed, Plenum Press, New York (1970).
- 61) Saito Y and Harashima H: Tracking of informations within multichannel EEG record causal analysis in EEG: in Recent anvances in data processing, Yamaguchi and Fujisawa eds, Elsevier, Amsterdam (1981) pp. 133-146.
- 62) Schwab RS, England AC and Peterson E: Comparison of EEG findings in parkinsons disease. Electroencephalogr Clin Neurophysiol (1958) 10, 186.
- 63) Sem-Jacobsen CW, Bickford RG, Petersen MC and Dodge HW: Depth distribution of normal electroencephalographic rhythms. Proceedings of the meeting of the Mayo Clinic (1953) 28, 156—161.
- 64) Sem-Jacobsen CW, Petersen MC, Dodge HW, Lazorte JA and Holman CB: Electroencephalographic rhythms from the depth of the parietal, occipital and temporal lobes in man. Electroencephalogr Clin Neurophysiol (1956) 8, 263—278.
- 65) 正田孝明, 森 保子, 片山善明, 武内 望, 堀口 淳, 中川 学, 柿本泰男:パーキンソン氏病の大脳誘発 電位と周波数分析、 臨脳波 (1983) **25**, 551—556.
- 66) Shaw JC and McLachlaw KR: The association between alpha rhythm propagation time and level of arousal. Psychophysiology (1968) 4, 307—310.
- 67) Silverman AJ, Busse EW and Barnes RH: Studies in the procsses of aging. Electroencephalogr Clin Neurophysiol (1955) 7, 67-74.
- 68) Simpson JA and Khuraibet JA: Readiness potential of cortical area 6 preceding self movement in parkinson's disease. J Neurol Neurosurg and Psychiatry (1987) 50, 1184—1191.
- 69) Sirakov AA and Mezan IS: EEG findings in parkinsonism. Electroencephalogr Clin Neurophysiol (1963) 15, 321-322.
- 70) Spiegel EA and Wycis HT: Thalamic recordings in man with special reference to seizure discharge. Electroencephalogr Clin Neurophysiol (1950) 2, 23-27.
- 71) 寿原健吉:脳波の周波数分析とその統計理論的意味について、北大応電研記事 (1948).
- 72) 鈴木宏哉, 堅田明義, 鮫島宗弘, 寿原健吉:脳波の局所特性と局所間関係に関する相関分析的研究. 東京教育学教育学部紀要 (1968) 14, 167-183.
- 73) 鈴木宏哉, 堅田明義, 木谷信子, 鮫島宗弘, 寿原健吉: 頭皮上脳波の位相関係の解析. 第11回日本 ME 学会予稿集 (1971) 159.
- 74) 滝川守国:経時的主成分分析法による脳内相互相関の解析。脳研会誌(1986)12, 112-113.

- 75) Valasco M and Valasco F: Subcortical correlates of the somatic, auditory and visual cortex activities. II. Referential EEG responses. Electroencephalogr Clin Neurophysiol (1986) 63, 62—67.
- 76) Walsh EG: Autonomy of alpha rhythm generators studied by multiple channel cross-correlation. Electroencephalogr Clin Neurophysiol (1958) 10, 121-130.
- 77) Walter DO, Rhodes JM, Brown O and Adey WR: Comprehensive spectral analysis of human generators in posterior cerebral regions. Electroencephalogr Clin Neurophysiol (1966) 20, 224—237.
- 78) Williams D and Parsons-Smith G: The spontaneous activity of the human thalamus. Brain (1949) 72, 450-482.
- 79) Wiener N: Nonlinear problems in random theory; MIT Press, New York (1958) p. 131.
- 80) Wiener N: Cybernetics; in control and communication in the animal and machine. John Wiley and Sons, New York (1948).
- 81) Yahr MD: The treatment of parkinsonism. Current concept. Med Clin N Am (1972) 56, 1377—1392.

Correlation of EEG analysis and Parkinsonism Masahiro TANIGAWA

Department of Neurological Surgery, Okayama University Medical School, Okayama 700, Japan

(Director: Prof. A. Nishimoto)

Scalp and depth EEG were obtained during thalamotomy in 19 Parkinsonian patients, and a correlation analysis was performed to demonstrate additional information.

- 1) The decrease in mean frequency of alpha and increase in theta activity constituted a characteristic feature in Parkinsonism. The degree of these findings was closely related to the progression of the disease.
- 2) Simultaneous recordings in the thalamus and the scalp tended to show approximate spectral values in mild cases, but demonstrated some differences as the disease progressed.
- 3) Comparison of scalp and thalamic recordings revealed the existence of coincident and independent alpha activities in each area.
- 4) Cross-correlation analysis of the scalp EEG revealed that there were some progessive changes in phase relationships, including advance of activities from the front and delay of from the occiput with phase shifts over 90°.
- 5) Travelling waves were also found in the depth EEG, and the direction was from the thalamus to the cortex in some cases, but reversed in others.

The phase shifts of alpha activities between the scalp and the thalamus were from 10° to 90°. From these values, the conduction velocity of the spreading alpha were from 2.4m/s to 21.6m/s.